

Таким образом, задача, построенная безизгибных (безмоментных) форм оболочечных конструкций с учетом смятия кромки приводится к решению уравнений (7)–(8)–(9). Ее можно упростить, полагая, например, $A = const$, $B = const$, или же $A \ll 1$, $B \ll 1$, или же рассматривая оболочки нулевой гауссовой кривизны $\frac{1}{R_1} = 0$, $\frac{1}{R_2} \neq 0$.

Литература

1. Мартыненко М.Д. *Определение безмоментной формы оболочки под действием заданной внешней нагрузки// Вопросы математической физики и теории функций. Киев «Наукова Думка» 1969, с.91-96.*
2. Нго Хьюнг Нью *некоторые обратные задачи безмоментной теории оболочек. Автореферат дисс....канд. физ.-мат. наук. Минск БГУ, 1987, с.15*
3. Фам Хонг Нга *Некоторые обратные задачи безмоментной теории тонкостенных оболочек. Автореферат дисс....канд. физ.-мат. наук. Минск БГУ, 1989, с.15*
4. Гариб Муса Ибрагим Гариб *Геометрия безизгибных форм тонкостенных пологих оболочечных конструкций. Автореферат дисс....канд. физ.-мат. наук. Минск БГУ, 1991, с.15*
5. Бидерман В.Л. *Механика тонкостенных конструкций. Статика М., Машиностроение, 1977, с.488*

УДК 539.3

ИССЛЕДОВАНИЕ ДИНАМИЧЕСКИХ ПРОЦЕССОВ В КУБИЧЕСКИ АНИЗОТРОПНЫХ ТЕЛАХ МЕТОДОМ ХАРАКТЕРИСТИК

С. М. Босяков

Рассмотрим упругие тела, характеризующиеся тремя материальными постоянными. К таким материалам относятся, например, алмазы, многие стеклопластики, а также большинство металлов, используемых в промышленности. Уравнения движения для таких сред имеют следующий вид [1]:

$$(A_4 \Delta - (A_1 - A_2 - 2A_4) \partial_i^2) u_i + (A_2 + A_4) \partial_i \sum_{k=1}^3 \partial_k u_k + X_i = \rho \ddot{u}_i, \quad (1)$$

где A_1, A_2, A_4 — упругие постоянные, Δ — оператор Лапласа, $\vec{u} = (u_1, u_2, u_3)$ — вектор перемещения, X_i — массовые силы, ρ — плотность,

$$\ddot{u}_i = \frac{\partial^2 u_i}{\partial t^2}, \partial_i = \frac{\partial}{\partial x_i}, i = \overline{1,3}.$$

Характеристическое уравнение для системы уравнений (1) с начальными данными на поверхности $Z(t, X) = const$ не разрешимо в аналитическом виде [2—4]. Поэтому анализ распространения поверхностей разрыва целесообразно проводить в некоторых плоскостях кубически анизотропного тела. Для квазипоперечных волн такими плоскостями являются плоскости грани куба ($x_i = 0, i = \overline{1,3}$) и плоскости $x'_1 = 0$ либо $x'_2 = 0$, повернутые относительно $x_1 = 0$ либо $x_2 = 0$ на угол равный 45° [1]. Обратимся ко второму случаю, так как он является наименее изученным. Система уравнений движения (1) принимает следующий вид [1]:

$$\begin{aligned} (A_{11}\partial_1^2 + A_{66}\partial_2^2 + A_{44}\partial_3^2)u_1 + (A_{12} + A_{66})\partial_1\partial_2u_2 + (A_{13} + A_{44})\partial_1\partial_3u_3 &= \rho\ddot{u}_1, \\ (A_{12} + A_{66})\partial_1\partial_2u_1 + (A_{66}\partial_1^2 + A_{11}\partial_2^2 + A_{44}\partial_3^2)u_2 + (A_{13} + A_{44})\partial_2\partial_3u_3 &= \rho\ddot{u}_2, \\ (A_{13} + A_{44})\partial_1\partial_3u_1 + (A_{13} + A_{44})\partial_2\partial_3u_2 + (A_{44}(\partial_1^2 + \partial_2^2) + A_{33}\partial_3^2)u_3 &= \rho\ddot{u}_3. \end{aligned} \quad (2)$$

Начальные данные к системе (2) зададим на поверхности $Z(t, X) = const$ и перейдем к новым переменным по формулам [2, 3]

$$Z_k = Z_k(t, X), \quad k = \overline{0,3}, \quad Z_0 \equiv Z.$$

Выразим производные по старым переменным через производные по новым переменным:

$$\frac{\partial^2 u_i}{\partial x_k \partial x_l} = \sum_{m,n=0}^3 \frac{\partial^2 u_i}{\partial Z_n \partial Z_m} \frac{\partial Z_n}{\partial x_k} \frac{\partial Z_m}{\partial x_l} + \sum_{m=0}^3 \frac{\partial u_i}{\partial Z_m} \frac{\partial^2 Z_m}{\partial x_k \partial x_l}, \quad k, l = \overline{0,3}, \quad x_0 = t. \quad (3)$$

Подставим (3) в (2) и приравняем нулю определитель, составленный из коэффициентов при производных $\frac{\partial^2 u_i}{\partial Z^2}$, $i = \overline{1,3}$ [2, 3]:

$$\det \|\omega_{ij}\| = 0, \quad (4)$$

где $\omega_{ii} = A_{11}p_i^2 + A_{66}p_j^2 + A_{44}p_3^2$, $\omega_{ij} = (A_{12} + A_{66})p_i p_j$,

$$\omega_{33} = A_{44}(p_1^2 + p_2^2) + A_{33}p_3^2, \quad \omega_{i3} = \omega_{3i} = (A_{13} + A_{44})p_i p_3, \quad i \neq j = 1, 2,$$

$$p_k = \frac{\partial Z}{\partial x_k}, \quad p_0 = \frac{\partial Z}{\partial t}, \quad k = \overline{1,3}.$$

Раскроем определитель (5) и разделим полученное выражение на g^6 , $g^2 = p_1^2 + p_2^2 + p_3^2$. Будем иметь кубическое уравнение относительно $V^2 = \frac{p_0^2}{g^2}$, в которое войдут также упругие постоянные и направляющие коси-

нуса нормали к характеристической поверхности $\cos \alpha_i = \frac{p_i}{\rho}, i = \overline{1,3}$ [2, 3].
 Примем $\cos \alpha_1 = \cos \alpha, \cos \alpha_2 = 0, \cos \alpha_3 = \sin \alpha$ и запишем решение этого уравнения в следующем виде:

$$V_{1,2} = \sqrt{\frac{1}{2\rho} (A_{44} + A_{11} \cos^2 \alpha + A_{33} \sin^2 \alpha \pm \sqrt{((A_{11} - A_{44}) \cos^2 \alpha + (A_{44} - A_{33}) \sin^2 \alpha)^2 + (A_{13} + A_{44})^2 \sin^2 2\alpha}},$$

$$V_3 = \sqrt{\frac{A_{66} \cos^2 \alpha + A_{44} \sin^2 \alpha}{\rho}}.$$
(6)

Выразим постоянные $A_{11}, A_{33}, A_{44}, A_{66}, A_{12}, A_{13}$ через модули упругости кубически анизотропной среды A_1, A_2, A_4 [1]:

$$A_{11} = A_4 + \frac{A_1 + A_2}{2}, A_{13} = A_{12} = A_2, A_{33} = A_1, A_{44} = A_4, A_{66} = \frac{A_1 - A_2}{2}.$$

Окончательно для скоростей распространения поверхностей разрыва (6) будем иметь

$$V_{1,2} = \sqrt{\frac{1}{2\rho} \left(A_4 + \left(A_4 + \frac{A_1 + A_2}{2} \right) \cos^2 \alpha + A_1 \sin^2 \alpha \pm \sqrt{\left(\frac{A_1 + A_2}{2} \cos^2 \alpha + (A_4 - A_1) \sin^2 \alpha \right)^2 + (A_2 + A_4)^2 \sin^2 2\alpha}},$$

$$V_3 = \sqrt{\frac{1}{\rho} \left(\frac{A_1 - A_2}{2} \cos^2 \alpha + A_4 \sin^2 \alpha \right)}.$$
(7)

Формулы (7) позволяют построить кривые векторов рефракции $R_i = \frac{1}{V}, i = \overline{1,3}$ (аналогичные поверхностям показателей преломления в оптике [1, 2]) в плоскости $x'_2 = 0$ (рис. 1) для различного рода кубически анизотропных материалов [5].

Кривые R_i позволяют определить значение фазовой скорости в зависимости от значения угла α , а также найти направление переноса упругой энергии по направлению нормали к кривой $R_i, i = \overline{1,3}$. Важной особенностью кривой R_2 для свинца является наличие касательных, имеющих с R_2 две точки касания [2]. Наличие таких особенностей приводит к появлению в интервале углов $(-\theta; \theta)$ и $(-\theta'; \theta')$ лакун, то есть таких участков, где происходит много-

кратное усиление упругой энергии [2]. В плоскости $x'_2 = 0$ кубически анизотропных сред условия существования лакун можно записать как условия существования решений уравнений относительно углов q и θ^* в интервале от нуля до $\pi/2$:

$$\begin{aligned} & (A_1^2 + 4A_2^2 + 9A_2A_4 + 6A_4^2 - A_1(A_2 + 3A_4) - \\ & - (A_1 - A_2 - 2A_4)(3A_1 + 4A_2 + A_4) \cos 2\theta)^2 - 16(A_1 + A_4)^2 \times \\ & \times \left(\left(\frac{1}{2}(A_1 + A_2) \cos^2 \theta + (A_4 - A_1) \sin^2 \theta \right)^2 + (A_2 + A_4)^2 \sin^2 2\theta \right) = 0, \end{aligned} \quad (8)$$

$$\begin{aligned} & ((A_1 - 3A_2 - 4A_4)(A_1 + 3A_2 + 2A_4) - \\ & - (A_1 - A_2 - 2A_4)(3A_1 + 7A_2 + 4A_4) \cos 2\theta^*)^2 - 16(A_1 + A_2 + 2A_4)^2 \times \\ & \times \left(\left(\frac{1}{2}(A_1 + A_2) \cos^2 \theta^* + (A_4 - A_1) \sin^2 \theta^* \right)^2 + (A_2 + A_4)^2 \sin^2 2\theta^* \right) = 0. \end{aligned} \quad (9)$$

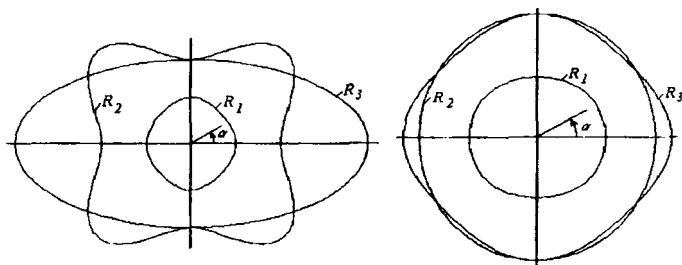


Рис. 1. Кривые рефракции в плоскости $x'_2 = 0$

Расчет, проведенный на основании формул (8), (9) для ряда кубически анизотропных сред показывает, что в плоскости $x'_2 = 0$ лакуны отсутствуют у молибдена, алмаза, вольфрама и алюминия. Для некоторых других кубически анизотропных материалов значения углов q и θ^* приведены в таблице 1.

Как следует из таблицы 1, в большинстве случаев $q > \theta^*$, обратное неравенство выполняется, например, для германия. Случаев, когда при $q \neq 0$ угол θ^* равен нулю, либо при $\theta^* \neq 0$ угол q равен нулю, для известных кубически анизотропных сред не выявлено.

С помощью формул (7) легко получить бихарактеристики, которые позволяют построить характеристические поверхности и являются составляющими групповой скорости распространения упругой волны [2, 3].

Таблица 1.

Значения углов φ и θ^* для некоторых кубически анизотропных тел

Материал	Упругие постоянные, $\cdot 10^{10}, \text{Н/м}^2$			Плотность, $\rho, \text{кг/м}^3$	Угол θ	Угол θ^*
	A_1	A_2	A_4			
германий	12.89	4.83	6.71	5460	$17^{\circ}28'$	$20^{\circ}40'$
золото	18.6	15.7	4.20	19300	$32^{\circ}07'$	$31^{\circ}30'$
никель	24.65	14.73	12.47	8750	$29^{\circ}36'$	$28^{\circ}38'$
серебро	12.40	9.34	4.61	10505	$32^{\circ}27'$	$31^{\circ}11'$
медь	16.84	12.14	7.54	8930	$33^{\circ}07'$	$31^{\circ}19'$
свинец	4.66	3.92	1.44	11342	$35^{\circ}03'$	$33^{\circ}26'$

Литература

1. Дьелесан Э., Руайе Д. Упругие волны в твердых телах. М., 1982.
2. Петрашень Г. И. Распространение волн в упругих анизотропных средах. Л., 1980.
3. Смирнов В. И. Курс высшей математики, т. IV, ч. 2. М., 1981.
4. О. Н. Скляр, С. М. Босяков // Материалы, технологии, инструменты, 2000, т. 5, № 4, С.26-28.
5. Современная кристаллография. Физические свойства кристаллов. Т. IV. М., 1984.

УДК 546.621:621.785

ИЗМЕНЕНИЕ СТРУКТУРЫ И ФИЗИКО-МЕХАНИЧЕСКИХ СВОЙСТВ БЫСТРОЗАТВЕРДЕВШИХ ФОЛЬГ СПЛАВОВ АЛЮМИНИЯ С НИКЕЛЕМ И МАРГАНЦЕМ

Е. Ю. Василевич, В. Г. Шепелевич

В последние десятилетия активно ведутся исследования алюминиевых сплавов, полученных сверхбыстрой закалкой из жидкой фазы при скоростях охлаждения 10^5 К/с и выше. При этом особый интерес представляют сплавы алюминия с переходными элементами [1], что обусловлено их низкой взаим-